

# تغيرات كبيرة في معامل الانكسار لأفلام بوليمر شفافة تحتوي على مجموعات إزالة ضوئي من مركب العضوي Diazo و مجموعات

## Large Photoinduced Refractive Index Changes of Transparent Polemer Films Containing Photoeliminable Diazo and Azido Groups

Seiichiro Murase and Kazuyuki Horie

#### الخلاصة

قمنا بقياس التغيرات في معامل الانكسار الناتجة عن استحثاث ضوئي لأفلام بوليمر تحتوي على العديد من المركبات، مثل مشتقات  $\alpha$ -diazoketone ومشتقات azide وأخرى التي تحدث فقد في جزيئات النيتروجين و- $\alpha$ -diazoketone ومشتقات PMMA حلال التشعيع الضوئي. أفلام PMMA تحتوي على wt% من PMMA من الضوئي. ( $\beta$ -AS) azidostyrene ( $\beta$ -AS) azidostyrene اظهرت تغيرات كبيرة في معامل الانكسار بمقدار 0.015 خلال عملية التحلل الضوئي (photolysis)، مع الحفاظ على الشفافية على كامل مدى الطيف المرئي. الحقيقة هي ان التركيب الكيميائي للمكونات عند موقع  $\alpha$  لمجموعة diazo وبالتالي تأثير الرنين لم يؤثر على التغيرات المستحثة ضوئيا في معامل الانكسار والذي يدل على مشاركة أساسية من تأثير إز الة جزيئات النيتروجين على تغيرات معامل الانكسار والذي يدل على مشاركة أساسية من تأثير إز الة جزيئات النيتروجين على تغيرات التركيب الإلكتروني ومشاركة تغيرات التركيب الإلكتروني وتغير ات في الكثافة على معامل الانكسار للأنظمة.



حديثا، اتجهت الجهود البحثية نحو البوليمرات العضوية كمواد للعديد من المركبات الضوئية مثل التصوير الهولوجرافي والذاكرة الضوئية وموجهات الضوء وعناصر ضوئية أخرى للمزايا العديدة بالمقارنة مع المواد غير العضوية من ناحية عملية التصنيع والتكلفة المعقولة. للتحكم في الخواص الضوئية لأفلام البوليمر، قما باستخدام العديد من الطرق على سبيل المثال التأثيرات الضوئية الكهربية وتأثيرات الانكسار الضوئي والتأثيرات الضوئية الغير خطية المستحثة في التعديل المؤقت في الخواص الضوئية لأفلام البوليمر. على الجانب الأخر تفاعل كيميائي ضوئي في البوليمر يعمل على تغير العديد من الخواص مثل قابلية الذوبان والامتصاص ومعامل الانكسار وهذه التعديلات ليست مؤقتة. تعديل معامل الانكسار المستحث بالتفاعل الكيميائي الضوئي يبقى بعد الإشعاع. لذلك فان التفاعل الكيميائي الضوئي المستحث لتغيرات في معامل الانكسار يمكن ان تستخدم لعمل نماذج من تغيرات معامل الانكسار في فيلم البوليمر.

نحن نعلم نوعين من التفاعلات الكيمائية الضوئية، منها العكسية والغير عكسية. عملية الايزوميرية الضوئية هي عملية عكسية ويمكن استخدامها في تسجيل الكتابة والقراءة والمسح (WRE) وفي أجهزة المبدلات (switching devices) (switching devices) (photolocking) ومستخدمة في عملية الايزومير الضوئية هي مشتقات -azoben (photolocking) ومهات المعوئية والقفل الضوئية والقفل الضوئية (photolocking) والإزالة الضوئية والقفل الضوئية (photoelimination) هي تفاعلات غير عكسية ويمكن ان تستخدم ذاكرة القراءة الهولوجرافية، وموجهات الموجة والعدسات الميكروية وعناصر ضوئية أخرى [12-8]. لهذه التطبيقات يحدث تغيرات كبيرة في معامل الانكسار في أفلام البوليمر المفضلة. الشفافية في مدى الطيف المرئي مهمة جدا. لان العلاقة بين طيف معامل الانكسار وطيف الامتصاص موضح في تحويل Kramers-Kronig [7] لا انه من الصعب ملاحظة التغيرات الكبيرة في معامل الانكسار والشفافية في مدى واسع من الطيف المرئي في نفس الوقت. ولهذا ربما سنقوم بعمل توازن بين هذين العاملين.

التغيرات في معامل الانكسار المستحثة ضوئية في أفلام البوليمر المطعمة بالعديد من المواد الفوتوكروميك تم الإشارة لها من قبل العديد من الباحثين. حصل Tanio و Tanio على تغير في معامل الانكسار بمقدار  $^{-3}$  بعملية الايزوميرية في بعض diarylethenes. ولاحظ المستبدل في معامل الانكسار بمقدار  $^{-1}$  بواسطة عملية الايزوميرية لإلكترون التطعيم-الاستقبال المستبدل في مجموعات

azobenzene. على كل حال عدد من الاصباغ الفوتوكروميك تمتلك حزم امتصاص في منطقة الطيف المرئى بعد عملية التشعيع الضوئي.

لقد حصلنا حتى الان على تغيرات كبيرة في معامل الانكسار من 0.01 و 0.037 عند طول موجي 633nm بواسطة عملية الايزومرية الضوئية لمشتقات norbornadiene [13] وعملية الضوئية الضوئية لفيلم (PVCm) poly(vinyl cinnamate) على التوالي، مع الحفاظ على الشفافية خلال كل منطقة الضوء المرئي. افاد Beeson et al بتغيرات كبيرة في معامل الانكسار بمقدار 0.026 بواسطة عملية التبيض الضوئي (photobleaching) لـ 9.N.-dimethylaminophenyl nitrone (photobleaching) هذه التغيرات الكبيرة في معامل الانكسار هي نتيجة للفقد في قرين  $\pi$  بواسطة التفاعل الضوئي المؤدي إلى تغيرات كبيرة تغير الموضع الإلكتروني. هذه قيم كبيرة جدا للتغيرات في معامل الانكسار والشفافية قد الانكسار والشفافية قد معامل الانكسار عند أطوال موجية بعيدة عن منطقة الرنين. ولهذا فان التغيرات في معامل الانكسار والشفافية قد كبير.

لملاحظة أنية للتغير في معامل الانكسار والشفافية، فان الإزالة الضوئية لجزيئات مثل النيتروجين وثاني الملاحظة أنية للتغير في معامل الانكسار والشفافية، فان الإزالة الضوئية لجزيئات مثل النيتروجين وثاني الكسيد الكربون تكون مهمة جدا. من المعروف جيدا ان مشتقات azide مضوئي سالب على التوالي عندما السابق ذكره واستخدامها كمقاوم ضوئي إلى أحماض كاربوكسيلية والمركب الأخر يولد nitrenes ليتشابك مع سلسلة البوليمر [16,17]. من الممكن ان تسبب الإزالة الضوئية ليس فقط فقد في قرين  $\pi$  ولكن أيضا فقد في جزيئات الإزالة. هذا الفقد يؤدي إلى نقصان في كلا من الانكسار المولاري وكثافة فيلم البوليمر وبالتالي يتوقع ان يتناقص معامل انكسار لفيلم البوليمر بشكل متزايد.

في هذه الدارسة قمنا بقياس التغيرات في معامل الانكسار المستحث ضوئيا في أفلام البوليمر المحتوية على مركبات نشطة ضوئيا مثل α-diazoketone ومشتقات azide ومركبات أخرى التي تحدث فقد في جزيئات النيتروجين بواسطة التشعيع الضوئي



azide ومشتقات  $\alpha$ -diazoketone ومشتقات الإزالة الضوئية، ومشتقات العرى ومشتقات  $\alpha$ -diazoketone ومركبات أخرى.

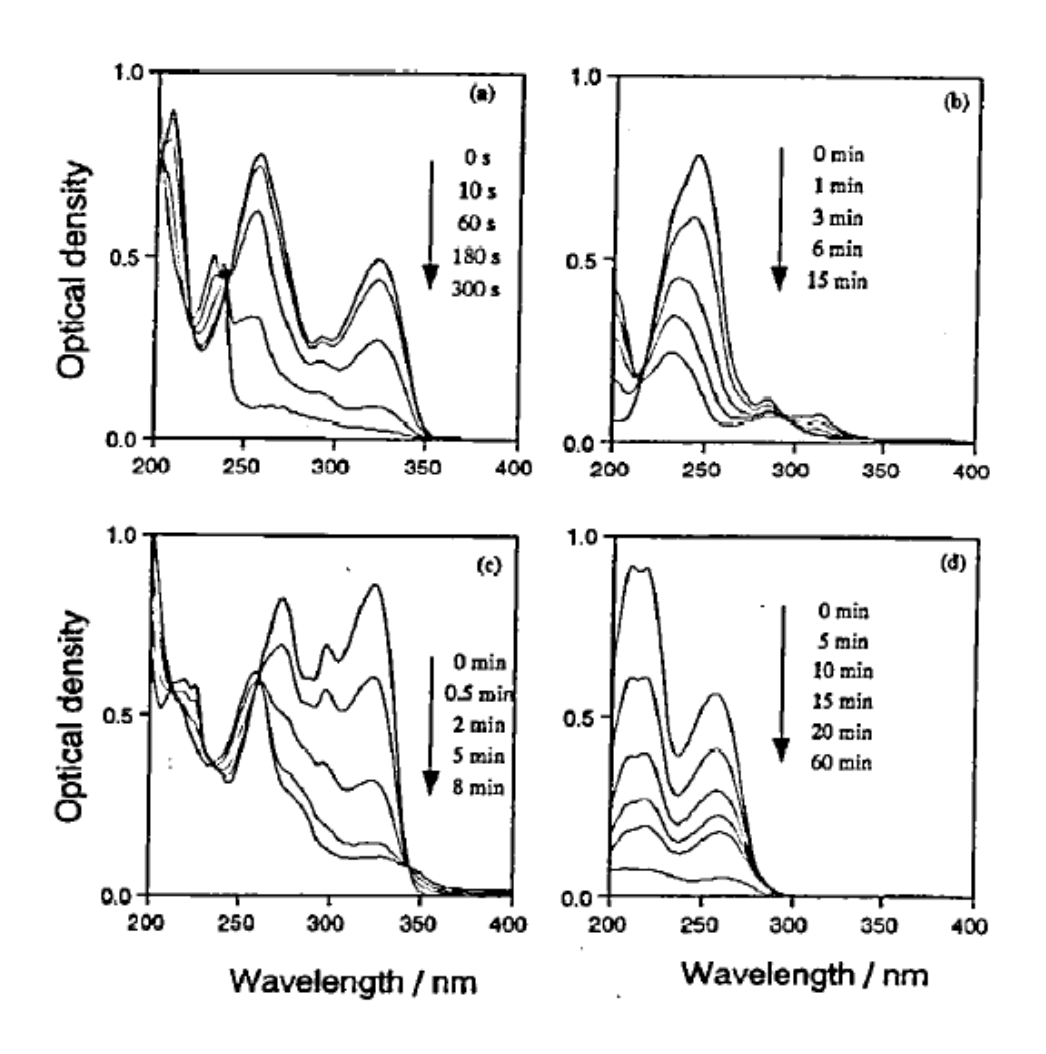
كما إننا قمنا بدراسة العلاقة بين التغيرات في معامل الانكسار والتركيب الجزيئي باستخدام الانكسار المولي كمعامل يوصل معامل الانكسار والتركيب الجزيئي.



المواد. استخدمنا α-diazoketones ومركبات أخرى كمواد نشطة ضوئيا. -2-Diazo-1 5-methoxy-1-in- '[19] (2DID) 2-diazo-1,3-indanedionw '[18] (2DI) indanone 1,2-naphthoquinone-2- (EDAA) ethl diazoacetoacetate (20) (5MDI) danone 4-nitro-1- α-diazoketone کمشتقات (NQDSA) diazide-5-sulfonic acid sodium salt α- (2AB) 2-azidobiphenyl (TA) tosyl azide (21] (4NAB) azidobenzene azide عشتقات (β-AS) β-azidostyrene (α-AS) azidostyrene (α-AS) 5-phenyl-1,2,3,4- (23) (4PTD) 4-phenl-1,2,3-thiadiazole •[22] EDAA كما هو موضح في بحوث سابقة ما عدا لـ (synthesized) كما هو موضح في بحوث سابقة ما عدا لـ EDAA و NQDSA. تم الحصول على EDAA و NQDSA تجاريا. التراكيب الكيميائية موضحة في الشكل 1. كمواد بوليمر استخدمنا المتوفر تجاريا PMMA بعد الترسيب. مركبات Diazo غير مستقرة حراريا وتتحلل عند درجة حرارة الغرفة. على كل حال مركبات diazo مع مجموعة carbonyl عند الموقع α لمجموعة diazo مستقرة ولا تتحلل في درجة حرارة الغرفة. مركبات Azido أيضا مستقرة بالأخص لـ phenylazides. مركبات Diazo تمتلك حاصل إنتاج عالى (φ) على التحلل الضوئي. قمنا بقياس φ على التحلل الضوئي لمشتقات α-diazoketone في أفلام PMMA وتم الحصول على قيم عالية بـ 0.61 (2DI)، و20.6 (2DID)، و20.7 (EDAA) عند درجة حرارة الغرفة.

قياسات طيف الامتصاص ومعامل الانكسار. اجري التفاعل الضوئي باستخدام مصباح زئبق عند ضغط عالي بقدرة W 450 W مع فلاتر مناسبة. طيف الامتصاص للمركبات النشطة ضوئيا قبل وبعد التعرض للتشعيع الضوئي تم قياسه في محاليل acetonitrile. معاملات الانكسار لأفلام البوليمر تم قياسها باستخدام طريقة الضوئي تم قياسه في محاليل (m-line method) الشعاع المستخدم كمجس لقياسات معامل الانكسار هو ليزر -He بالخط (LSTP-1010, Research Electro Optics) القلام لقياسات معامل الانكسار بسمك mm تم 3 µm تحضيرها باستخدام طريقة pm و المحتوية على مركبات نشطة ضوئيا مع أوزان مختلفة لـ PMMA في methylene chloride على أرضيات من التشعيع مركبات نشطة ضوئيا قبل وبعد التشعيع الضوئي في نمط TM الانكسار لأفلام البوليمر المحتوية على مركبات نشطة ضوئيا قبل وبعد التشعيع الضوئي في نمط TE عند TM (632.8 nm النكسار على استقطاب TM البعض

العينات، ولكن وجد اختلاف صغير جدا  $n_{TM}$  اكبر من  $n_{TE}$  بمقدار 0.0005) في فيلم PMMA قبل وبعد التشعيع الضوئي.



قياسات NMR للنواتج الضوئية. تم الحصول على النواتج بالتحليل الضوئي لـ 2DID و 2DID و التي تم تعريفها بطيف NMR. أجريت التفاعلات الضوئية كمحاليل في NMR. أجريت التفاعلات الضوئية كمحاليل المتعريفها بطيف المتعريفها بطيف المتعريفها بطيف المتعريفها بطيف المتعربة التفاعلات الضوئية كمحاليل المتعربة التفاعلات الضوئية المتعربة ا

لان التركيب الكيميائي لـ MTA مشابه لـ PMMA. بعد التفاعل الضوئي، محاليل MTA تبخرت، والمتبقي تم تجفيفه تحت ضغط منخفض، وطيف NMR تم قياسه.

قياسات الكثافة للأفلام. كثافات أفلام PMMA تحتوي على 2DI و 2DID قبل وبعد التفاعل الضوئي تم carbon و cyclohexane و cyclohexane تحديده باستخدام طريقة الطفو float method. كثافة المحلول الخليط لـ tetrachloride موضحة في المعادلة (1) [25]، حيث ان  $\rho^{25}$  هي كثافة الخليط

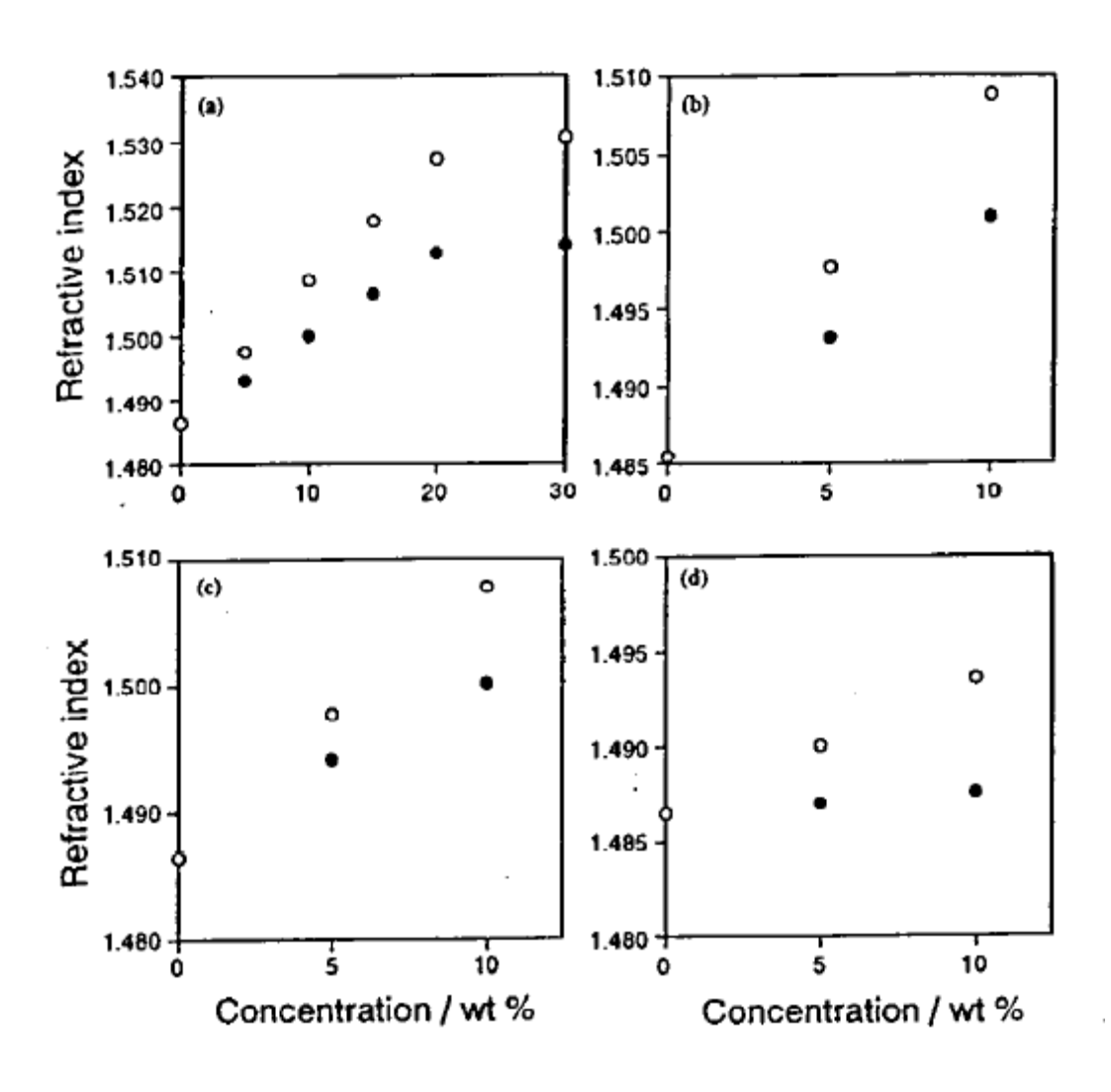
$$\rho^{25} = 0.32732 \times 10^{-8} C^4 - 0.24564 \times 10^{-6} C^3 + 3.5653 \times 10^{-5} C^2 + 0.37169 \times 10^{-2} C + 0.77387$$
 (1)

عند درجة حرارة C و 25°C و عني وزن جزء carbon tetrachloride في المحلول الخليط. ليست مذاب في أي من المحلولين أو في المحلول الخليط. يمكننا قياس كثافة أفلام البوليمر بتغير نسبة الخلط لهذين المحلولين.

#### النتائج والمناقشة

تغيرات في معامل الانكسار مستحثة ضونيا لأفلام PMMA مع مشتقات  $\alpha$ -diazoketone. التغيرات في طيف الإمتصاص لـ 2DI, 2DID, 5MDI, EDAA قبل وبعد التشعيع الضوئي موضحة في الشكل 2. طيف الامتصاص لـ 2DI قبل وعند  $\epsilon=1.6\times10^4$  ( $\epsilon=1.6\times10^4$ ) وعند  $\epsilon=1.6\times10^4$  وعند  $\epsilon=1.6\times10^4$  وعند  $\epsilon=1.6\times10^4$  وعند  $\epsilon=1.6\times10^4$  ( $\epsilon=1.6\times10^4$ ) وعند  $\epsilon=1.6\times10^4$  وعند  $\epsilon=1.6\times10^4$  ( $\epsilon=1.6\times10^4$ ) وعند التشعيع بأشعة فوق بنفسجية تناقصت قمم الامتصاص بالكامل. لوحظت نقطة  $\epsilon=1.6\times10^4$  وبعد التشعيع بأشعة فوق بنفسجية بتناقص في الامتصاص وتناقص في معاملات انكسار أفلام PMMA المطعمة. الشكل 33 يوضح العلاقة بين أوزان أجزاء من 2DI في أفلام PMMA ومعاملات الانكسار قبل وبعد التشعيع الضوئي.





الشكل 3. معاملات انكسار أفلام PMMA المحتوية على أوزان أجزاء مختلفة من مشتقات -α- الشكل 3. معاملات انكسار أفلام 2DI (a) وبعد 30 دقيقة من التشعيع الضوئي (الدوائر الداكنة: (a) diazoketone قبل (الدوائر المفتوحة) وبعد 30 دقيقة من التشعيع الضوئي (الدوائر الداكنة: (EDAA (d) ·5MDI (c) ·2DID (b)

حتى % wt تطعيم، معاملات الانكسار لأفلام PMMA في نسبة إلى أوزان أجزاء من 2DI في PMMA. على كل حال معامل انكسار فيلم PMMA المطعم بـ %wt بـ 30 wt لم يعد يظهر علاقة خطية لوزن الجزء بسبب التبلور الجزئي المتسحث بالتراكم الميكروسكوبي لجزيئات 2DI في فيلم PMMA. في النهاية لقد حصلنا على تغيرات كبيرة في معامل الانكسار 0.015- بالتشعيع الضوئي لفيلم PMMA مطعم بـ % wt و 2DI. هذا مقدار كبير للتغير في معامل الانكسار المستحث بتفاعل كيميائي

ضوئي في منطقة الطول الموجي الغير رنيني وكافية لعمل قناة توجيه موجي. يمتلك 2DID قمة امتصاص قوية عند  $\epsilon=4.2\times10^4~\mathrm{L~cm^{-1}~mol^{-1}}$ ) وبعد التشعيع حدث تناقص كبير في قمة الامتصاص كما في حالة 2DI.

بالرغم من ان قمة الطول الموجي اصغر بكثير من تلك لـ 2DI، الا ان شدة القمة اكبر بكثير. معاملات الانكسار لأفلام PMMA المطعمة بـ 2DID قبل وبعد التشعيع الضوئي (الشكل 63) هي تقريبا نفسها في 2DI. التغيرات في معامل الانكسار هي بالطبع تساوي تلك لـ 2DI. يمتلك 5MDI مجموعة para عند carbonyl موضع para لمجموعة carbonyl على حلقة البنزين وتمتلك حزم امتصاص اكثر شدة عند nm 325 nm كل وطنع 2DI وعلى كل PMMA المطعمة أيضا اكبر من تلك 2DI. وعلى كل حال تغيرات معامل الانكسار (الشكل 32) هي تقريبا مساوية لـ أو اقل من تلك لـ 2DI. لا يمتلك EDAA حلقات اروماتيك (aromatic ring) وحزم الامتصاص عند منطقة أطوال موجية اصغر بكثير (الشكل 25)، حلقات اروماتيك (d3) (الشكل 36). هذه تقترح ان المواد ولكن تعطي تغيرات كبيرة في معامل الانكسار في أفلام PMMA (الشكل 36). هذه تقترح ان المواد المستبدلة (مجموعات carbonyl عند noision الخ) لا تؤثر على معاملات الانكسار وتغيرات معامل الانكسار المقارنة في تغيرات معامل الانكسار لا تتأثر كثيرا بالمواد المستبدلة مشتقات hough ملخصة في الجدول 1. يمكننا ان نرى ان تغيرات معامل الانكسار لا تتأثر كثيرا بالمواد المستبدلة مشتقات (NQDSA) naphthoquinonediazide الفقد في جزيئات النيتروجين تساهم بشكل أساسي في التغيرات في معامل انكسار مشتقات معامل الكسار مشتقات النيتروجين تساهم بشكل أساسي في التغيرات في معامل انكسار مشتقات على المقود في جزيئات النيتروجين تساهم بشكل أساسي في التغيرات في معامل انكسار مشتقات هالمنتوني المقادن الكسار مشتقات النيتروجين تساهم بشكل أساسي في التغيرات في معامل انكسار مشتقات المنتونيات النيتروجين تساهم بشكل أساسي في التغيرات في معامل انكسار مشتقات المنتونية طريئات النيتروجين تساهم بشكل أساسي في التغيرات في معامل انكسار مشتقات المنتونية وحديث المنتونية وحديث المسابق المشتقات المعامل الكسار مشتقات المنتونية وحديث المسابق المسابق المنتونية وحديث المسابق المسابق

 $\alpha$ - معاملات الانكسار وتغيرات معامل الانكسار لأفلام الـ PMMA المحتوية على مشتقات معامل التشعيع الضوئي (عند طول موجى  $633~\mathrm{nm}$  في النمط TE)



	5 wt %		10 wt %			
		na	$-\Delta n$	$n_{\rm b}$	$n_{\rm a}$	$-\Delta n$
PMMA	1.4865					
2DI/PMMA	1.4976	1.4932	0.0044	1.5088	1.4999	0.0089
2DID/PMMA	1.4978	1.4932	0.0046	1.5089	1.501	0.0078
5MDI/PMMA	1.4987	1.4949	0.0038	1.5078	1.5002	0.0076
EDAA/PMMA	1.4900	1.4870	0.0030	1.4935	1.4876	0.0059
NQDSA/PHEMAb	1,5164	1.5109	0.0055			

تقدير الانكسارات المولية لـ 2DI و 2DID. نحن ادخلنا الانكسار المولي كمعامل لربط خاصيتين هما، معامل الانكسار للجزيء وتركيبه الكيميائي. الانكسار المولي يصف بمعادلة لورنتز -لورنتز، المعادلة (2) [27]. حيث R هي الانكسار المولي، وn معامل الانكسار.

$$R = \frac{n^2 - 1}{n^2 + 2} V, \quad V = \frac{M}{\rho}$$
 (2)

وV الحجم المولي، وM الكتلة المولية و $\rho$  هي الكثافة. لحساب الانكسارات المولية لمصفوفة البوليمر المطعمة، نقوم بتعريف متوسط الانكسار المولي  $\overline{R}$  الموضح في المعادلة (3) [28]، حيث  $\overline{R}$  هي متوسط الانكسار المولي

$$\bar{R} = x R_{\rm A} + (1 - x) R_{\rm B}$$
 (3)

و $_{\rm X}$ ، جزء المول من الجزيء  $_{\rm A}$  في فيلم البوليمر  $_{\rm B}$  المعطي في مولات قاعدة البوليمر.  $_{\rm R}$  يمكن أيضا ان توصف باستخدام معادلة لورنتز لورنتز مع متوسط الكتلة المولية وكثافة فيلم البوليمر.

كما في المعادلة 2، الانكسار المولي للمركب يحدد بواسطة معامل الانكسار والحجم المولي للمركب بصفة عامة الانكسارات المولية للمركبات التي لا تمتلك تركيب رنيني في الجزيء توصف من خلال جمع الانكسارات الذرية على كل حال الانكسارات المولية للمركبات التي تمتلك تركيب رنيني (على سبيل المثال الاقتران  $\pi$ ) توصف بجمع الانكسارات الذرية ومشاركات تأثيرات الرنين. في حالة التفاعلات الضوئية، مثل وphotoisomerization حيث الكتلة المولية كثافة فيلم البوليمر لا تتغير بعد التفاعل الضوئي، لذا فان

تغيرات معامل الانكسار ترتبط فقط مع تغيرات الانكسار المولي. في الحالات الاخرى من عملية photodimerization وphotodimination (الازالة الضوئية)، فان تغيرات معامل الانكسار ترتبط ليس فقط مع تغيرات الانكسار المولي ولكن مع التغيرات في الكثافة و/أو الكتلة المولية.

لقد قمنا بتقدير الانكسارات المولية لـ 2DI و 2DI. لهذا التقدير، تم قياس النواتج خلال عملية التحلل الضوئي للضوئي لـ 2DI و 2DI في افلام PMMA وكثافة التطعيم في افلام PMMA. مخططات التحلل الضوئي والنواتج موضحة في الشكل 4. وكما هو معروف بشكل جيد، فان مشتقات α-diazoketone تحرر جزيئات النيتروجين وتنتج carbine خلال التحلل الضوئي وتشكل بعد ذلك ketene بواسطة إعادة ترتيب NMR لإنتاج حمض كاربوكسيل بإضافة الماء [16]. بعد التحلل الضوئي في MTA، وجد 2DI مع NMR ونواتج إقحام أخرى بنسبة 25:75.

الشكل 4. مخطط التفاعل الضوئي والنواتج الضوئية لـ 2DI (a) و 2DID في محاليل MTA.

الجدول 2 كثافة فيلم PMMA وأفلام PMMA المحتوية على 5wt% من 2DI او 2DID قبل وبعد التشعيع الضوئي

	density (g/cm³)		
	before irradiation	after irradiation	
PMMA	1.189		
2DI/PMMA	1.204	1.201	
2DID/PMMA	1.205	1.208	

الجدول 3. الانكسارات المولية وتغيرات الانكسار المولية لـ 2DID و 2DID قبل وبعد التشعيع الضوئي

	2DI	2DID
R before irradiation (cm $^3$ /mol)	48.29	47.57
R after irradiation (cm $^3$ /mol)	37.97	36.44
$-\Delta R$ (cm $^3$ /mol)	10.31	11.14

هذا متفق بشكل جيد مع القيم في المرجع [29]. تكون 2DID في 20:50:30. (HPAH)، homophthalic anhydride و (HPAH) homophthalic anhydride)، ومنتجات أخرى تشمل نواتج الإقحام بنسبة 20:50:30. التحلل الضوئي لـ 2DID ينتج منتجات اكثر مع اضافة الماء من 2DI. هذا من الممكن ان يكون اكثر او اقل مأثرا على التغيرات في معامل الانكسار لان الفرق في مقدار اضافة الماء والذي معامل انكساره كبير جدا. يوضح الجدول 2 كثافة افلام PMMA المطعمة بـ %wt 5 من 2DI أو 2DID قبل وبعد التشعيع الضوئي. تتناقص كثافة ADID بعد التحلل الضوئي بسبب فقدان جزيئات النيتروجين. على الجانب الاخر تزداد كثافة ADID بمقدار طفيف. هذا من الممكن ان يكون بسبب مقدار الماء المضاف خلال عملية التحلل الضوئي التي تعمل على زيادة الكتلة المولية لـ 2DID وبالتالي كثافة فيلم البوليمر. هذه التغيرات في معامل الانكسار لأفلام البوليمر المطعمة.

باستخدام هذه النتائج مع بعض مع المعادلة 2 والمعادلة 3 قمنا بحساب الانكسارات المولية لـ 2DID و 2DID قبل وبعد التحلل الضوئي. كما هو موضح في الجدول 3، الانكسارات المولية لـ 2DID و 2DID تتناقص بشكل واضح بعد التحلل الضوئي. لقد حصلنا على التغيرات في الانكسار المولي

الجدول 4. تغيرات الانكسار المولي وتغيرات الانكسار النوعي لمشتقات α-diazoketone خلال الإزالة الضوئية لجزيئات النيتروجين.

			PVCm
11.01			5.19
	9.33	8.55	2.982
		10.65 9.33	10.65 9.33 8.55

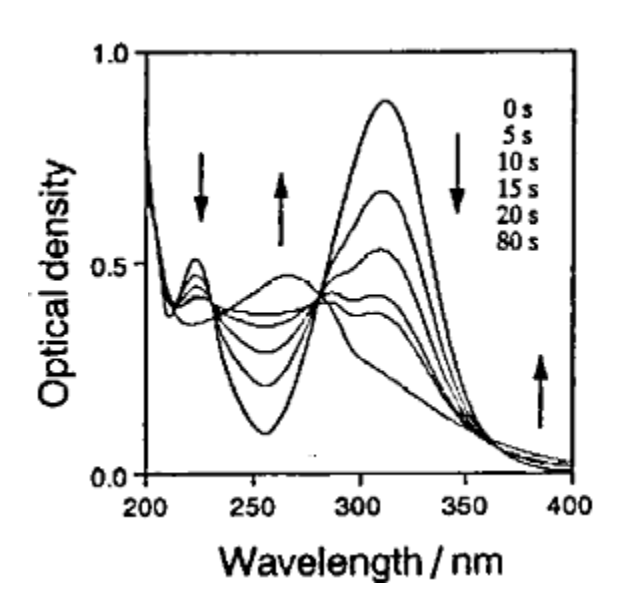
و التوالي. حديثا حصلنا على تغيرات معامل 2DI - 11.14 cm³/mol على التوالي. حديثا حصلنا على تغيرات معامل 2DI و 2DI و 2DI و 11.14 cm³/mol حيث poly(vinylcinnamate) لفيلم photodimerization حيث 2DID و 2DI كانت 2DID و 2DI و 3.19 cm³/mol بالمقارنة مع هذه النتيجة، من الجدير ملاحظة ان  $\Delta R$  تستحث تغيرات كبيرة في الانكسار المولي خلال التحلل الضوئي، والذي يؤدي إلى تغيرات كبيرة في معاملات الانكسار. تغيرات المعامل المولي لإزالة جزيئات النيتروجين فقط  $\Delta R$  (المعادلة 4)

و 2DID تم تقدير ها أيضا بافتراض ان الـ carbenes هو الناتج الضوئي فقط. الانكسارات المولية المقابلة لـ carbenes تم حسابها بواسطة جمع الانكسارات الذرية. لقد حصلنا على  $\Delta R_{\rm e}=-11.23$  و  $\Delta R_{\rm e}=-11.23$  و 2DID التي لا تمثلك حلقات اروماتية (aromatic). تبين  $\alpha$ -diazoketone تغيرات 2DID و 2DID تغير 2DID و 2DID تغيرات 2DID و 2DID و 2DID تغيرات 2DID و 2DID و 2DID تغيرات 2DID و 2DID و2DID و2DID و 2DID و2DID و2



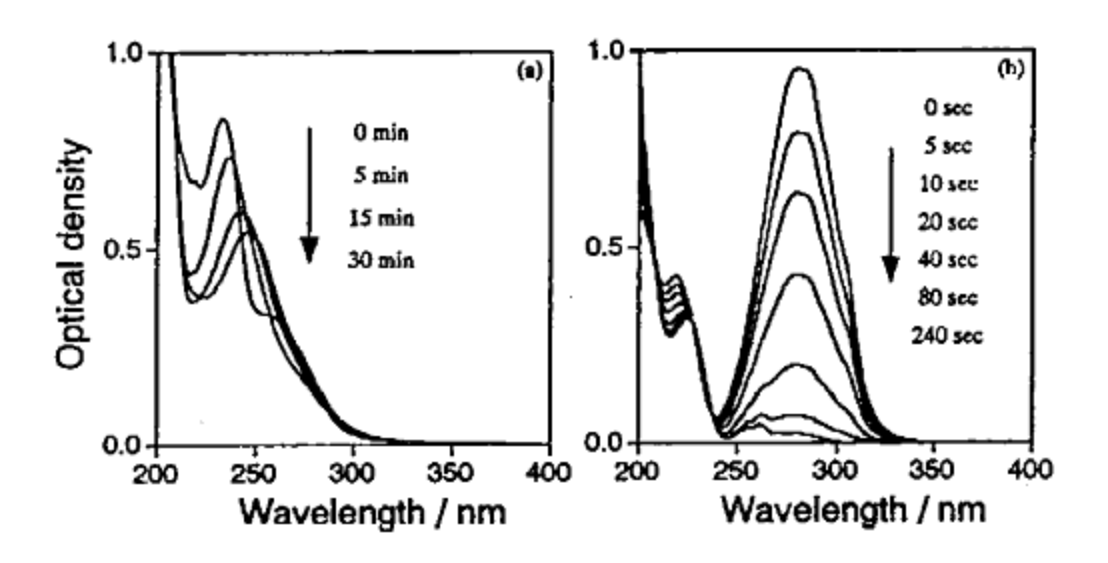
أفلام PMMA تحتوى على Azide وTriazol Analogues. مشتقات azide تحرر أيضا جزيئات النيتر وجين خلال عملية التحلل الضوئي، كما تفعل مشتقات α-diazoketone، ومن ثم تشكل nitrene الذي يستحث العديد من التفاعلات الكيميائية، بشكل رئيسي احقام في رابطة C-H. مركبات aromatic azides مركبات مستقرة وتتسبب في فقدان جزىء نيتروجين وقرين $\pi$  من مجموعة azido إلى حلقة بنزين. هذا يقترح ان نتوقع تغيرات كبيرة في معامل الانكسار نتيجة لعملية التحلل الضوئي لمركبات azide. وعلى كل حال فيلم PMMA المحتوى على %wt 5 من 4NAB يبين تغيرات قليلة جدا في معامل الانكسار اقل من 10-3 بعملية التشعيع الضوئي. في حالة الـ azides الاخرى، TA و AB حصلنا على تغيرات قليلة في معامل الانكسار (0.0007- و0.0008- لـ %wt 5 من TA و 2AB في أفلام PMMA على التوالي). هذا يمكن ان يفسر على النحو التالي: خلال عملية التحلل الضوئي، مشتقات azide في فيلم PMMA تحرر جزيئات النيتروجين، وقرين- $\pi$  من مجموعة azido إلى حلقة بنزين. حتى الأن، العملية هي نفسها لحالة مشتقات α-diazoketone، لذلك يجب ان تتناقص معاملات الانكسار لأفلام البوليمر بشكل ملحوظ. على كل حال النواتج خلال علمية التحلل الضوئي لـ azides ليست نفس تلك التي في مشتقات α-diazoketone. حيث يتشكل amine باقحام nitrene في رابطة C-H. يمكن للـ amine ان يعمل على زيادة معامل انكسار فيلم البوليمر بعد التشعيع الضوئي. وفي النهاية هذه التأثيرات على التغيرات في معامل الانكسار تلقى بعضها البعض وتؤدي إلى عدم حدوث أي تغيرات تقريبا في معامل انكسار فيلم البوليمر. كل التوجهات نحو azides تم التحقق منها من خلال سلوك طيف امتصاصها. على سبيل المثال، يوضح 4NAB قمة امتصاص شديدة عند 310 nm تتناقص خلال التشعيع الضوئي كما هو موضح في الشكل 5. على نحو لا يشبه مشتقات α-diazoketone لا تختفي تماما وعلاوة على ذلك تظهر قمم امتصاص جديدة تعود للنواتج الضوئية. للتلخيص، الامتصاص لـ azides لا يتغير بما فيه الكفاية ليؤثر على التغير في معامل الانكسار عند 633 nm فقمة الامتصاص. هذا يمكن ان يفسر بواسطة تحويل Kramers-Kronig [7]. كلا من vinyl azides هي vinyl azides ومعروف عنها إنها لا كلا من  $\beta$ -azidostrene ( $\alpha$ -AS)  $\alpha$ -azidostyrene كلا من amine خلال التحلل الضوئي كما هو موضح في المعادلتين 6 و7 [30,31].

التغيرات في طيف امتصاص  $\alpha$ -AS و  $\alpha$ -AS قبل وبعد التشعيع الضوئي موضحة في الشكل  $\alpha$ . يمكننا ان  $\alpha$ -AS في طيف امتصاص  $\alpha$ -AS و $\alpha$ -AS قبل وبعد التشعيع الضوئي موضحة في الشكل  $\alpha$ -AS في هذين الطيفين. يمتلك  $\alpha$ -AS قمة امتصاص شديدة عند  $\alpha$ -AS في هذين الطيفين. يمتلك  $\alpha$ -AS قمة امتصاص بالكامل بعد التشعيع.  $\alpha$ -AS ويتناقص الامتصاص بالكامل بعد التشعيع.

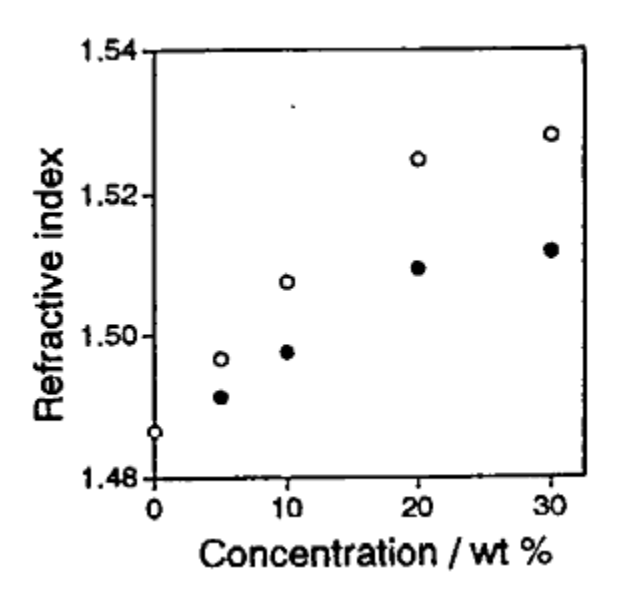


الشكل 5. طيف الامتصاص لـ 4NAB في  $10^{-5} \, \text{mol/L}$  من محلول acetonitrile الشعيع على 4NAB الشعيع الضوئي. الأسهم تبين اتجاه التغير خلال التشعيع الضوئي. زمن التشعيع الضوئي موضح بجوار الأسهم.





الشكل 6. طيف الامتصاص لـ  $\alpha$ -AS و  $\alpha$ -AS في محاليل acetonitrile و  $\alpha$ -AS و  $\alpha$ -AS في محلول  $\alpha$ -AS في محلول  $\alpha$ -S في محلول الأسهم تبين اتجاه التغير خلال التشعيع الضوئي. زمن التشعيع الضوئي موضح بجوار الأسهم.



الشكل 7. معاملات الانكسار لأفلام PMMA المحتوية على أجزاء وزنية مختلفة من  $\beta$ -AS قبل (الحلقة الشكل 7. معاملات الانكسار لأفلام 30 دقيقة من التشعيع الضوئي (الحلقات الداكنة).

على جانب اخر،  $\alpha$ -AS يمتلك قمة قوية عند  $\alpha$ -1 mol 233 nm يتناقص قمة الامتصاص بشكل كبير ولكنها أزيحت إلى أطوال موجية اكبر. السلوك في طيف الامتصاص لـ تتناقص قمة الامتصاص بشكل كبير ولكنها أزيحت إلى أطوال موجية اكبر. السلوك في طيف الامتصاص لـ  $\alpha$ -AS  $\alpha$ -AS  $\alpha$ -AS يشابه مركبات azido وazido على التوالي. معاملات الانكسار لفيلم PMMA المطعم أوزان متنوعة من  $\alpha$ -AS قبل وبعد التشعيع موضحة في الشكل 7. كلما أصبحت أوزان  $\alpha$ -AS اعلى فان العلاقة بين معاملات الانكسار وأوزان  $\alpha$ -AS تصبح خطية كما هو في حالة 2DI. التغيرات في معامل الانكسار لفيلم PMMA المطعم بـ 5 و % wt و  $\alpha$ -AS من  $\alpha$ -AS هي  $\alpha$ -AS المطعم بـ 3 و  $\alpha$ -AS على الجانب الأخر فيلم PMMA المطعم بـ  $\alpha$ -AS من  $\alpha$ -AS يظهر تغيرات صغيرة في معامل الانكسار بمقدار  $\alpha$ -0.001، والتي هي متوقعة من طيف الامتصاص (الجدول 5).

الجدول 5. معاملات الانكسار والتغيرات في معامل الانكسار لأفلام PMMA المحتوية على %wt 10 wt من Vinyl Azides قبل وبعد التشعيع الضوئي (عند 633 nm في نمط TE)

	α-azidostyrene/PMMA	β-azidostyrene/PMMA
n before irradiation	1.5057	1.5076
n after irradiation	1.5042	1.4978
$-\Delta n$	0.0015	0.0098

تفقد جزيئين نيتروجين خلال التحلل الضوئي لـ 1ABT، كما هو موضح في المعادلة 8. جزيء نيتروجين واحد يفقد في عملية التحلل الضوئي والأخر يفقد حراريا [32].



في العملية، يكون التغير درجة عدم التموضع لإلكترونات- $\pi$  مصحوبا بفقدان جزيئين نيتروجين. لذلك فإننا نتوقع ان معاملات الانكسار لفيلم البوليمر المحتوي على 1ABT يتغير بعض الشيء. في الحقيقة، أفلام PMMA المطعمة بـ 3 wt% بنات على 3 التحلل الضوئي. هذه القيمة هي نفسها كما في 3 وكبيرة جدا للتغير في معامل الانكسار تحت تأثير ضوئي في المنطقة الغير رنينية.

تعطي 4PTD و 5PTT ثلاثة وأربعة ذرات هيترو متلامسة في خمسة حلقات أرومتيك، على التوالي. يحرروا جزيئات نيتروجين وتختفي حلقات الأتوماتيك خلال التحلل الضوئي كما هو موضح في الشكل 9 [33,34]. ولهذا ادخلنا هذه المركبات في أفلام البوليمر، متوقعين ان تحدث تغير كبير في معامل الانكسار أثناء التحلل الضوئي.

على كل حال أفلام PMMA المحتوية على % wt 5 من 4PTD و 5PTT أظهرت تغيرات صغيرة في معامل الانكسار بمقدار 0.0014 و 0.0015 خلال التحلل الضوئي على التوالي. هذه النتائج من الممكن ان تفسر من خلال ان المركبات الناتجة أثناء التحلل الضوئي تمتلك انكسارات مولية كبيرة بالمقارنة مع حالة مشتقات α-diazoketone والتي تتغلب على التناقص في معاملات الانكسار في أفلام PMMA بعد التشعيع الضوئي، وبالتالي تصبح التغيرات في معامل الانكسار صغيرة نسبيا. هذه النتائج تقترح ان المواد التي تعطي زيادة في إنتاج انكسارات مولية كبيرة بعد التحلل الضوئي ليست مناسبة لعمل تغيرات في معامل الانكسار كبيرة.

العوامل المؤثرة على تغيرات معامل الانكسار المستحثة ضوئيا. التغيرات في معامل الانكسار في أفلام البوليمر المطعمة التي تحدث تحت تأثير الإزالة الضوئية لجزء من المواد المطعمة مثل مشتقات  $\alpha$ diazoketone، لا تتأثر كثيرا بمستبدلات المطعمات التي تعمل على تغير التركيب الرنيني للمواد المطعمة ولكنها تتأثّر بقوة بفقدان جزيئات النيتروجين من الفيلم. الفقد في جزيئات النيتروجين يعمل على تقليل الانكسار ات المولية للمركبات النشطة ضوئيا وتقليل كثافة فيلم البوليمر، مما ينتج عنه تناقص كبير في معامل انكسار فيلم البوليمر. هذا التناقص في كلا من الانكسارات المولية للمواد المطعمة وكثافة فيلم البوليمر يساهم في تناقص معامل الانكسار في فيلم البوليمر. في حالة التفاعل الضوئي مثل عملية الـ، photoisomerization، حيث لا يتغير سمك فيلم البوليمر قبل وبعد التشعيع الضوئي، والحجم المولى لفيلم البوليمر لا يتغير أيضا، لذلك فان التغيرات في معامل الانكسار تقابل مباشرة للتغيرات في الانكسار المولى كما هو موضح في المعادلة 2. حيث ان الانكسار المولى هو حاصل جمع الانكسارات الذرية، فان تغيرات معمل الانكسار ترتبط مع تغيرات التركيب الإلكتروني للمركبات النشطة ضوئيا. بمعنى ان التغيرات في معامل الانكسار لفيلم البوليمر يوصف فقط بالتغيرات في التركيب الإلكتروني، بالأخص عدم التموضع الالكتروني للمركبات النشطة ضوئيا. بالمقابل لحالة الـ photoisomerization فان عملية الإزالة الضوئية (photoelemination) تعطى زيادة للتغيرات في سمك فيلم البوليمر. تحت تأثير التحلل الضوئي تتحرر جزيئات النيتروجين من فيلم البوليمر وبعض جزيئات النيتروجين قد تخرج خارج فيلم البوليمر، مما تترك خلفها فجوات في فيلم البوليمر. هه الفجوات لا يجب ان تبقى كما هي ولكن يجب ان تمتلء بدرجة محددة بسلاسل البوليمر يتبعها تناقص في سمك فيلم البوليمر. كثافة فيلم البوليمر لا تتناقص بتناسب مع التغير في متوسط الكتلة المولية لفيلم البوليمر، لذلك يتناقص الحجم المولى. وعليه فان الفقد في جزيئات النيتروجين خلال التحلل الضوئي يحدث عدة تأثيرات على تناقص معامل انكسار فيلم البوليمر

للتبسيط، سوف نعرف الانكسار النوعي specific refraction) كما هو معطى في المعادلة 10. باستخدام r يمكن ان نصف

$$r = \frac{R}{M} \quad r \cdot \rho = \frac{n^2 - 1}{n^2 + 2} \tag{10}$$

التغيرات في معامل الانكسار فقط بالتغيرات في r والكثافة  $\rho$ . قيمة r ترتبط مع التركيب الإلكتروني للمركبات، وبالتالي يمكن ان نقسم المشاركة للتغيرات في معامل الانكسار على معاملين مستقلين هما r و $\rho$  والتي تعطي التغيرات في التركيب الإلكتروني وفي كثافة فيلم البوليمر على التوالي. هنا قمنا بحساب الانكسارات النوعية لمشتقات  $\rho$ -diazoketone خلال الإزالة الضوئية لجزيئات النيتروجين ( $\rho$ -diazoketone الانكسارات النوعية لمشتقات  $\rho$ -diazoketone خلال الإزالة الضوئية لجزيئات النيتروجين تقريبا نفس قيم  $\rho$ -diazoketone موضح في الجدول  $\rho$ - كل مشتقات  $\rho$ -diazoketone نقريبا نفس قيم  $\rho$ - كما هو في الحالة  $\rho$ - ولها قيم اصغر قليلا لـ  $\rho$ - من  $\rho$ - من  $\rho$ - هذا مختلفة عن الحالة  $\rho$ - من  $\rho$ - كما هو في الحالة  $\rho$ - ولها قيم اصغر قليلا لـ  $\rho$ - من  $\rho$ - المنافقة عن  $\rho$ - من  $\rho$ - ولها قيم التغيرات في التركيب الإلكتروني خلال التعيرات في التركيب الإلكتروني خلال التعيرات النيتروجين. ونتيجة لذلك فان التغيرات في التركيب الإلكتروني خلال الإزالة الضوئية لجزيئات النيتروجين تكون مقارنة مع أو اقل بقليل من  $\rho$ - PVCm خلال عملية  $\rho$ - معلية المولية، لذلك في  $\rho$ - طلال عملية  $\rho$ - والمنافقة المولية والمنافقة والمنافقة

فيلم PMMA يحتوي على 2DI يبين تغيرات في الكثافة خلال التشعيع الضوئي، والذي مع التغيرات في التركيب الإلكتروني، يساهم في تغيرات كبيرة في معامل الانكسار. عند هذه النقطة، 2DI مختلفة عن حالة  $\Delta \rho$  عطى تأثيرات باتجاهين متعاكسين، يلغى التغيرات في معامل الانكسار.

مساهمة تغيرات  $\Delta 
ho$  و  $\Delta 
ho$  في معامل الانكسار يمكن وصفه بشكل منفصل كما في المعادلة  $\Delta 
ho$  مساهمة تغيرات

$$\Delta \left( \frac{n^2 - 1}{n^2 + 2} \right) = \Delta(r \cdot \rho) \simeq \rho(\Delta r) + r(\Delta \rho) \tag{11}$$

لقد قدمنا هذه المعادلة لفيلم PMMA المحتوية على 2DI باستخدام متوسط الانكسار النوعي،  $\bar{r}$  الفيلم و تغيراتها  $\Delta \bar{r}$  خلال التحلل الضوئي في مكان r و  $\Delta r$  على التوالي، بالاعتماد على المعادلة E مع الكثافة و تغيراتها مساهمة تغيرات التركيب الإلكتروني والكثافة في تغيرات معامل الانكسار تم تقديره للتحلل الضوئي الفيلم مساهمة تغيرات التركيب الإلكتروني والكثافة في تغيرات معامل الانكسار تم تقديره للتحلل الضوئي الفيلم E باستخدام القيم E باستخدام القيم E باستخدام القيم E باستخدام القيم E بالتدائج هي E بالمساهمة الاكبر من E بالنتائج هي E بالمساهمة الاكبر من E بالمساهمة الاكبر من E بالنتائج هي E بالمساهمة الاكبر من E بالمساهمة المساهمة بالمساهمة المساهمة بالمساهمة با

بمعنى ان التغيرات في التركيب الإلكتروني لتغيرات في معامل الانكسار لفيلم PMMA المحتوي على 5 wt% من 2DI.

افلام PMMA المحتوية على %wt 5 من 1ATB أظهرت سلسلة من تغيرات معامل الانكسار على النحو التالى:

$$n_{\rm b}$$
 (1.4957)  $\xrightarrow{h\nu}$   $n_{\rm a}$  (1.4912)  $\xrightarrow{T_{\rm g}}$   $n_{\rm a}$  after annealing (1.4919)

بعد التحلل الضوئي، فيلم PMMA المحتوي على %wt 5 من 1ABT تم معالجته حرارية لدرجة حرارة اعلى من درجة حرارة الإنتقال في الزجاج Tg مما نتج عنه زيادة صغيرة في معامل الإنكسار. هذا يشير إلى ان كثافة فيلم PMMA المحتوية على 1ABT بعد التشعيع الضوئي اقل قليلا من قبل التشعيع الضوئي. بالتسخين الى درجة حرارة اعلى من Tg تحررت حركة براونية ميكورية لسلاسل البوليمر مع زيادة في كثافة فيلم البوليمر لقيمة قبل التشعيع الضوئي، وعليه ازداد معامل انكسار فيلم البوليمر. على كل حال هذه الزيادة ( $\Delta n=0.0007$ ) صغيرة بالمقارنة مع التيغرات في معامل الانكسار خلال التحلل الضوئي (-a=0.0007). هذه متفقة بشكل جيد مع حالة 2DI. ونتيجة لذلك فان مساهمة  $\Delta r$  والتي هي بالاساس مرتبطة مع التغيرات في معامل الانكسار الكلي (a=0.0007) على التعاروني، للتغيرات في معامل الانكسار الكلي (a=0.0007) على التوالى) لتكون اكبر بكثير من a=0.0007

### الاستنتاج

قمنا بقياس معاملات الانكسار قبل وبعد التشعيع الضوئي لأفلام PMMA المحتوية على مركبات عدة تحرر جزيئات النيتروجين خلال عملية التحلل الضوئي. لقد حصلنا على تغيرات في معامل الانكسار بمقدار 0.015 بالتحلل الضوئي لفيلم PMMA المحتوي على 20 wt من 2DI. هذه تغير كبير في معامل الانكسار مستحث بالتفاعل الكيميائي الضوئي، وهذا البوليمر شفاف على كامل مدى الطيف المرئي. تبين 2DI إنتاج كوانتي عالى للتفاعل الضوئي (6.61) في فيلم PMMA ومستقرة عند درجة حرارة الغرفة.

هذه النتائج تقترح إمكانية استخدام الإزالة الضوئي في 2DI ومشتقات  $\alpha$ -diazoketone لعمل نماذج تغير مختلفة لمعامل الانكسار.

تغيرات معامل الانكسار لمشتقات  $\alpha$ -diazoketone هي نفسها بغض النظر عن نوع المستبدلات حتى في حالة عدم التموضع الإلكتروني العالي. هذا يقترح ان تحرير جزيئات نيتروجين يساهم بشكل أساسي في التغيرات في معامل الانكسار لأفلام PMMA المحتوية على مشتقات  $\alpha$ -diazoketone. على الجانب الأخر الحكماء عدا  $\alpha$ -AS و  $\alpha$ -ABT تظهر تغيرات صغيرة فقط في معامل الانكسار في الفلام PMMA خلال التحلل الضوئي. هذا يعود إلى طبيعة النواتج أثناء التحلل الضوئي والتي تمتلك انكسارات مولية كبيرة وتتسبب في زيادة معامل انكسار فيلم البوليمر بعد التشعيع الضوئي.

التغيرات في الانكسار المولية لـ 2DI و 2DID خلال التحلل الضوئي كبيرة جدا وقد تكون السبب في تغيرات كبيرة في معامل انكسار أفلام PMMA. بحساب الانكسار النوعية للعديد من مشتقات α-diazoketone بمكننا ان نرى تأثير حقيقي ورئيسي للتغيرات في التركيب الإلكتروني على تغيرات معامل الانكسار منفصلة عن تغيرات الكثافة. النتائج الحالية تقترح انه يمكننا ان نحصل على تغيرات كبيرة في معامل انكسار فيلم البوليمر بالإزالة الضوئية للمواد المطعمة والتي تتسبب في تغيرات كبيرة في التركيب الإلكتروني من خلال تحرير الجزيئات التي ازيلت.

تمت الترجمة في المركز العلمي للترجمة

2011-12-17

www.trgma.com